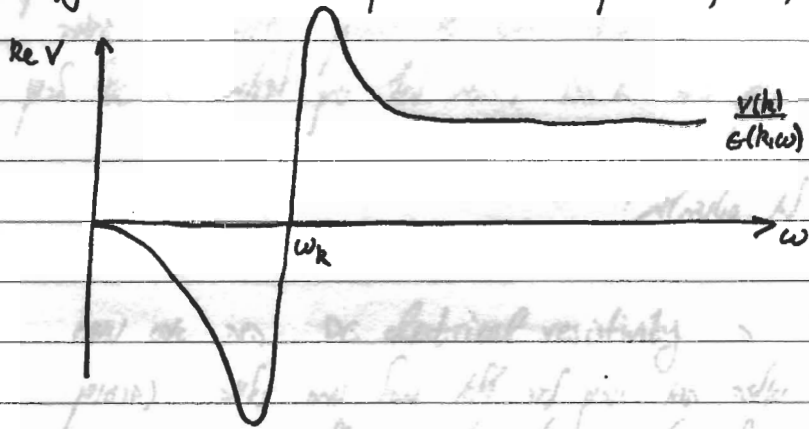


האנרגיה המועברת במהלך התהליך היא  $\omega < \omega_R$  (תנאי של  $\omega < \omega_R$ ).  
 זהו תנאי הדרוש למעבר אנרגיה מהחומר אל הפוטון.  
 energy transfer:  $\omega < \omega_R$  (תנאי של  $\omega < \omega_R$ ).  
 זהו תנאי הדרוש למעבר אנרגיה מהחומר אל הפוטון.



מה מקור המעבר האנרגטי? האנרגיה הכוללת נשמרת. האנרגיה הכוללת נשמרת.



המעבר האנרגטי מתרחש בין שני מצבי אנרגיה. המעבר האנרגטי מתרחש בין שני מצבי אנרגיה.

המעבר האנרגטי מתרחש בין שני מצבי אנרגיה. המעבר האנרגטי מתרחש בין שני מצבי אנרגיה.

$$\tau \sim \frac{2\pi}{\omega_b} \sim 10^{-13} \text{ sec}$$

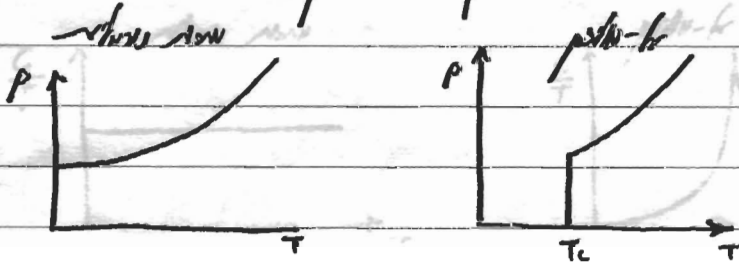
$$\omega_b \sim 10^8 \frac{cm}{sec} \cdot 10^{13} \frac{1}{cm} \sim 1000 \text{ \AA}$$

הזמן הנדרש לזינוק הממוצע של הפוטון.  
 הזמן הנדרש לזינוק הממוצע של הפוטון.

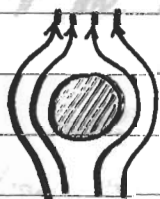
המעבר האנרגטי מתרחש בין שני מצבי אנרגיה. המעבר האנרגטי מתרחש בין שני מצבי אנרגיה.  
 המעבר האנרגטי מתרחש בין שני מצבי אנרגיה. המעבר האנרגטי מתרחש בין שני מצבי אנרגיה.  
 המעבר האנרגטי מתרחש בין שני מצבי אנרגיה. המעבר האנרגטי מתרחש בין שני מצבי אנרגיה.

ב-1957 הוצגו תוצאות של ברידג'מן, מילר ובינדרצ' (BCS) ברדען קופר ושריפטר.
   
 ב-1986 הוכרז על גילוי של סופרמטורית ב-90K.
   
 ב-1987 הוכרז על גילוי של סופרמטורית ב-135K (הוא קרוב ל-150K).
   
 הנושא של סופרמטוריות הוא נושא של מחקר פעיל.

DC electrical resistivity  $\rho$  vs  $T$  graph.
   
 The graph shows resistivity  $\rho$  on the y-axis and temperature  $T$  on the x-axis.
   
 The curve shows a sharp drop at  $T_c$ , indicating the transition to superconductivity.
   
 The region below  $T_c$  is labeled "persistent currents".

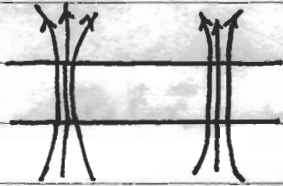


The Meissner effect is the expulsion of magnetic field lines from the interior of a superconductor.
   
 It is a defining property of superconductors.
   
 The critical current  $I_c$  is the maximum current that can flow through a superconductor without destroying the superconducting state.
   
 Typical values for  $I_c$  are in the range of 100-1000 A.



The Meissner effect is the expulsion of magnetic field lines from the interior of a superconductor.
   
 It is a defining property of superconductors.
   
 The critical current  $I_c$  is the maximum current that can flow through a superconductor without destroying the superconducting state.
   
 Typical values for  $I_c$  are in the range of 100-1000 A.

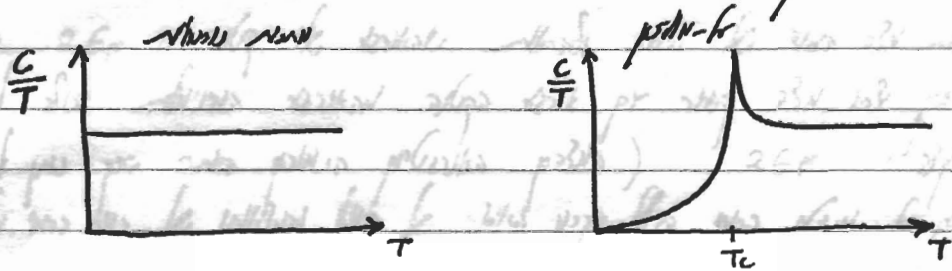
Type 1:  $\psi$  is constant,  $\phi$  is linear. Type 2:  $\psi$  is linear,  $\phi$  is constant.



Vortices are the source of the magnetic field.

$$\phi = \frac{hc}{2e} \gamma$$

3. The critical temperature  $T_c$  is the temperature at which the superconducting transition occurs.



The critical field  $H_c$  is the maximum magnetic field that can be applied to a superconductor without destroying superconductivity.

The critical temperature  $T_c$  is the maximum temperature at which a material can become superconducting.

כדי לתאר את המערכת הזו נשתמש במרחב המשותף של שני המרחבים הווקטוריים  
 של המסה  $T=0$ . נניח כי המסה הזו נמצאת במצב של שקט במערכת המרכזית  
 של המסה. המרחב המשותף של שני המרחבים הווקטוריים של המסה  
 נקרא  $\Psi(\vec{r}_1, \vec{r}_2, \sigma_1, \sigma_2)$  והוא מתאר את המצב של המערכת  
 במרחב המשותף של שני המרחבים הווקטוריים של המסה. המרחב המשותף  
 של שני המרחבים הווקטוריים של המסה נקרא  $\vec{R} = \frac{m_1 \vec{r}_1 + m_2 \vec{r}_2}{m_1 + m_2}$

$$\left[ \frac{-\hbar^2}{2(m_1+m_2)} \nabla_{\vec{R}}^2 - \frac{\hbar^2}{2m_1} \nabla_{\vec{r}_1}^2 + V(r) \right] \Psi(\vec{R}, \vec{r}, \sigma_1, \sigma_2) = E \Psi(\vec{R}, \vec{r}, \sigma_1, \sigma_2)$$

$\hookrightarrow \frac{m_1 m_2}{m_1 + m_2}$

אם נניח שהמסה הזו נמצאת במצב של שקט במערכת המרכזית של המסה  
 והמסה הזו נמצאת במצב של שקט במערכת המרכזית של המסה. המרחב המשותף  
 של שני המרחבים הווקטוריים של המסה נקרא  $\vec{R} = \frac{m_1 \vec{r}_1 + m_2 \vec{r}_2}{m_1 + m_2}$

המרחב המשותף של שני המרחבים הווקטוריים של המסה נקרא  $\Psi(\vec{R}, \vec{r}, \sigma_1, \sigma_2) = \frac{1}{\sqrt{V}} e^{i\vec{k} \cdot \vec{R}} \phi(\vec{r}) \chi(\sigma_1, \sigma_2)$

המרחב המשותף של שני המרחבים הווקטוריים של המסה נקרא  $\vec{R} = \frac{m_1 \vec{r}_1 + m_2 \vec{r}_2}{m_1 + m_2}$

המרחב המשותף של שני המרחבים הווקטוריים של המסה נקרא  $\chi = \frac{1}{\sqrt{2}} (|\uparrow\downarrow\rangle - |\downarrow\uparrow\rangle)$

המרחב המשותף של שני המרחבים הווקטוריים של המסה נקרא  $\phi(\vec{r}) = \sum_{\vec{k} > \vec{k}'} U_{\vec{k}} e^{i\vec{k} \cdot \vec{r}}$

המרחב המשותף של שני המרחבים הווקטוריים של המסה נקרא  $\sum_{\vec{k}_1, \vec{k}_2} e^{i(\vec{k}_1 + \vec{k}_2) \cdot \vec{r} + i(\frac{\vec{k}_1 - \vec{k}_2}{2}) \cdot \vec{r}}$

( $\int e^{-i\vec{k}\vec{r}} d^3r$  - כלומר  $k$  יבטיח  $k > k_F$ )  $e^{i\vec{k}\vec{r}}$  הן פונקציות חרות

$$(E - 2\epsilon_k) U_{\vec{k}} = \sum_{k' > k_F} V_{\vec{k}, \vec{k}'} U_{\vec{k}'}$$

$$V_{\vec{k}, \vec{k}'} = \frac{1}{V} \int d^3r V(r) e^{i(\vec{k}' - \vec{k})\vec{r}} \quad ! \quad \epsilon_k = \frac{\hbar^2 k^2}{2m}$$

נניח שהפוטנציאל הוא קונסטנטי  $-V$  מעל  $r_0$  ו-0 מתחת

$$V_{\vec{k}, \vec{k}'} = \begin{cases} -V & \vec{k}, \vec{k}' < k_0 \\ 0 & \text{אחרת} \end{cases}$$

אם  $\omega_c \sim \omega_0$  נניח  $\omega_c$  cut off energy  $\hbar\omega_c$  !  $\xi_k = \epsilon_k - \epsilon_F$  נניח

$$U_{\vec{k}} = \frac{V}{2\epsilon_k - E} \sum_{\substack{k' > k_F \\ \xi_{k'} < \hbar\omega_c}} U_{\vec{k}'}$$

$$\sum_{\substack{k > k_F \\ \xi_k < \hbar\omega_c}} U_{\vec{k}} = \sum_{\substack{k' > k_F \\ \xi_{k'} < \hbar\omega_c}} U_{\vec{k}'} \cdot \sum_{\substack{k > k_F \\ \xi_k < \hbar\omega_c}} \frac{V}{2\epsilon_k - E}$$

$$\frac{1}{V} = \sum_{\substack{k > k_F \\ \xi_k < \hbar\omega_c}} \frac{1}{2\epsilon_k - E}$$

אם  $E = \epsilon_F$  יש  $g(E)$  פונקציה מסוימת עבור  $E$  שניתן להשתמש בה

$$\frac{1}{V} = g(\epsilon_F) \int_{\epsilon_F}^{\epsilon_F + \hbar\omega_c} \frac{dE}{2E - E}$$

$$= \frac{1}{2} g(\epsilon_F) \ln \left( \frac{2\epsilon_F - E + 2\hbar\omega_c}{2\epsilon_F - E} \right)$$

$vg(\epsilon_F) \ll 1$  כך שהן (הן זנו)  $2\epsilon_F - E$  וכו'

$$E = 2\epsilon_F - 2k_B T \ln \left[ \frac{2}{g(\epsilon_F) V} \right]$$

זהו זה

1. הנה קשר בין  $\Delta$  ל- $T$  עבור  $T < T_c$ .  $\Delta \rightarrow 0$  כ- $T \rightarrow T_c$ .
2. עבור  $T > T_c$ ,  $\Delta = 0$ . זהו מצב של מתכת רגילה.
3. עבור  $T < T_c$ ,  $\Delta$  הוא פונקציה של  $T$ .  $\Delta(T) \approx \Delta(0) \left[ 1 - 1.74 T/T_c \right]$  עבור  $T < 0.5 T_c$ .
4. הנה קשר בין  $\Delta$  ל- $T_c$  עבור מתכת רגילה.  $\Delta(0) \approx 1.76 k_B T_c$ .

הנה קשר בין  $\Delta$  ל- $T_c$  עבור מתכת רגילה.  $\Delta(0) \approx 1.76 k_B T_c$ . זהו קשר בין  $\Delta$  ל- $T_c$  עבור מתכת רגילה.

הנה קשר בין  $\Delta$  ל- $T_c$  עבור מתכת רגילה.  $\Delta(0) \approx 1.76 k_B T_c$ . זהו קשר בין  $\Delta$  ל- $T_c$  עבור מתכת רגילה.

$$H_{pair} = h_{pair} \hat{P}$$

$$(\hat{P} = 0 \text{ ל-} T > T_c \quad \hat{P} = \sum_{\mathbf{k}\sigma} C_{\mathbf{k}\sigma}^+ C_{-\mathbf{k}\sigma}^+ + h.c.)$$

$\chi_{pair}$  is calculated using  $\langle \hat{P} \rangle$  via linear response theory

$$\langle \hat{P} \rangle = \chi_{pair} h_{pair}$$

$\chi_{pair} = G_{pp}^R$

$$\chi_{pair} = G_{pp}^R$$

$$\chi_{pair} = \sum_{k, \omega} \begin{array}{c} \text{bubble diagram} \\ \begin{array}{l} \text{top: } k, \omega, \uparrow \\ \text{bottom: } -k, -\omega, \downarrow \end{array} \end{array} = \sum_{k, \omega} G_0(k, i\omega) G_0(-k, i\omega)$$

Wick's theorem

density-density correlation function

RPA approximation

$$\chi_{pair} = \sum_{k, \omega} \begin{array}{c} \text{bubble diagram} \\ \begin{array}{l} \text{top: } k, \omega, \uparrow \\ \text{bottom: } -k, -\omega, \downarrow \end{array} \end{array} + \sum_{k, \omega, k', \omega'} \begin{array}{c} \text{bubble diagram with internal interaction} \\ \begin{array}{l} \text{top: } k, \omega, \uparrow \quad k', \omega', \uparrow \\ \text{bottom: } -k, -\omega, \downarrow \quad -k', -\omega', \downarrow \end{array} \end{array} + \dots$$

bubble diagrams and ladder diagrams in RPA

...

$$\frac{1}{\beta V} \sum_{k, \omega} |\bar{g}_{k-k'}|^2 D_0(k-k', i\omega - i\omega') G_0(k, i\omega) G_0(-k, i\omega')$$

$$\chi_{pair} = \frac{1}{\beta V} \sum_{k, \omega} G_0(k, i\omega) G_0(-k, i\omega)$$

$$\times \left\{ 1 + \frac{1}{\beta V} \sum_{k', \omega'} |\bar{g}_{k-k'}|^2 D_0(k-k', i\omega - i\omega') G_0(k', i\omega') G_0(-k', i\omega) \right\}^{-1}$$

pairing interaction  $|\bar{g}_{k-k'}|^2 D_0(k-k', i\omega - i\omega')$

$$\begin{cases} -V_0 & |\omega_n|, |\omega_n'| < \omega_0 \\ 0 & \text{otherwise} \end{cases}$$

matrix elements

- Since  $k-k'$  is the difference of reciprocal lattice vectors  $\vec{G}_m \sim k-k'$  is possible  
 $k \rightarrow k'$  is allowed  
 $\omega'$  is related cutoff energy  $\omega - \omega' \leq \omega_0$  because  $D_0$  is infinite  
 (? when  $|\omega| \sim |\omega'| \gg \omega_0$  then approximation)

the value of  $T_c$  is determined by the condition  $1 = T_c V_0 \int \frac{d^3k}{(2\pi)^3} \sum_n G_0(k, i\omega_n) G_0(-k, -i\omega_n)$

$$1 = T_c V_0 \int \frac{d^3k}{(2\pi)^3} \sum_n \frac{1}{\omega_n^2 + \xi_k^2}$$

$$= T_c V_0 \int \frac{d^3k}{(2\pi)^3} \sum_n \frac{1}{\omega_n^2 + \xi_k^2}$$

$g(\xi)$  is the density of states  $\xi$  is related to  $k$  by relation  $\xi = \xi_k$

$$= T_c V_0 \sum_n \int d\xi g(\xi) \frac{1}{\omega_n^2 + \xi^2}$$

$$= \pi V_0 g_0 T_c \sum_n \frac{1}{\omega_n |\omega_n|}$$

$$g_0 = g(\xi_F)$$

$$= V_0 g_0 \sum_{n=0}^{\frac{\omega_0}{2\pi T_c}} \frac{1}{n + \frac{1}{2}}$$

$$\omega_n = 2\pi T_c \left( n + \frac{1}{2} \right)$$

$$\stackrel{\omega_0}{T_c} \rightarrow \infty = V_0 g_0 \left[ \gamma + \ln \frac{2\omega_0}{\pi T_c} \right]$$

$\gamma$ : Euleri constant = 0.5772...

$$T_c = \frac{2}{\pi} e^{\gamma} \omega_0 e^{-\frac{1}{V_0 g_0}} = 1.13 \omega_0 e^{-\frac{1}{V_0 g_0}}$$



Cooper is the first step toward the BCS theory of superconductivity  
 The BCS theory is the first step toward the BCS theory of superconductivity

תורת ה-BCS היא תאוריית המיקרו-קופר. היא מתארת את המעבר ממצב מתכת למצב מבודד. המודל של Cooper, שבו זוגות של אלקטרונים מתארגנים בזכות המערכות הדיסקרטיות, הוא הבסיס לתאוריית BCS. המודל כולל את המונחים של  $H_0$  (המקום הפנוי) ו- $H_1$  (הקופרציה).

$$H = H_0 + \sum_{k, k', q} V_{kk'} C_{k\sigma}^\dagger C_{-k+q\sigma'}^\dagger C_{-k'+q\sigma} C_{k'\sigma}$$

המודל של Cooper הוא מודל של זוגות. המודל של Cooper הוא מודל של זוגות.

$$H = \sum_{k, \sigma} \xi_k C_{k\sigma}^\dagger C_{k\sigma} + \sum_{kk'} V_{kk'} C_{k\uparrow}^\dagger C_{-k\downarrow}^\dagger C_{-k'\downarrow} C_{k'\uparrow}$$

המודל של Cooper הוא מודל של זוגות. המודל של Cooper הוא מודל של זוגות. המודל של Cooper הוא מודל של זוגות. המודל של Cooper הוא מודל של זוגות.

$$|\Psi\rangle = \prod_k (u_k + v_k C_{k\uparrow}^\dagger C_{-k\downarrow}^\dagger) |0\rangle$$

המודל של Cooper הוא מודל של זוגות. המודל של Cooper הוא מודל של זוגות. המודל של Cooper הוא מודל של זוגות. המודל של Cooper הוא מודל של זוגות.

המודל של Cooper הוא מודל של זוגות. המודל של Cooper הוא מודל של זוגות. המודל של Cooper הוא מודל של זוגות. המודל של Cooper הוא מודל של זוגות.

$U(1)$  rotation in complex plane  $H$  is  $c_{k\sigma}^+ \rightarrow e^{i\theta} c_{k\sigma}^+$  and  
 commutes with  $\{U_k, U_k\}$  property of the vacuum  $|\psi\rangle$   $H$  is zero. Is state  
 $\phi = 2\theta$   $\{U_k, e^{i\phi} U_k\}$  for  $|\psi\rangle \rightarrow |\psi(\phi)\rangle$  is a symmetry and  
 since the vacuum is  $U(1)$  invariant the vacuum expectation value of  $U_k$  is zero  
 phase-rigidity is broken. order parameter:  $\langle U_k \rangle$  phase  $\phi$  "order"  
 phase-rigidity is broken. order parameter:  $\langle U_k \rangle$  phase  $\phi$  "order"

The symmetry is broken and the ground state is a superposition of states  $|\psi(\phi)\rangle$

$$|\psi(N)\rangle = \int_0^{2\pi} d\phi e^{-i\phi \frac{N}{2}} |\psi(\phi)\rangle$$

So the order parameter is  $\langle U_k \rangle$  and the phase is  $\phi$  (broken)

phase-rigidity is broken and the order parameter is  $\langle U_k \rangle$  (broken)

$[N, \phi] = i$  relation between number and phase

$$\langle N \rangle = \langle \psi | \sum_k U_k | \psi \rangle = 2 \sum_k |U_k|^2$$

$$\langle (N - \langle N \rangle)^2 \rangle = 4 \sum_k U_k^2 U_k^2$$

When  $T \rightarrow 0$  the order parameter is  $\langle U_k \rangle$  and the phase is  $\phi$

$$\langle \psi | (N - \langle N \rangle)^2 | \psi \rangle \sim T_c \frac{\langle N \rangle^2}{T_F}$$

$$\frac{\langle (N - \langle N \rangle)^2 \rangle}{\langle N \rangle} \sim \left( \frac{T_c}{T_F} \right)^{1/2} \frac{1}{\sqrt{\langle N \rangle}} \sim \frac{10^{-2}}{\sqrt{\langle N \rangle}}$$

הנה נרצה להבין את המודל BCS להצטרפות של אלקטרונים במוליך. המודל נקרא על שם Bogoliubov.

הנה  $\langle C_{k\uparrow}^+ C_{-k\downarrow}^+ \rangle$  הוא הממוצע של pairing. המודל הוא מודל של pairing בממוצע. המודל הוא מודל של pairing בממוצע. המודל הוא מודל של pairing בממוצע.

$$C_{k\uparrow}^+ C_{-k\downarrow}^+ C_{-k'\downarrow} C_{k'\uparrow} = [\langle C_{k\uparrow}^+ C_{-k\downarrow}^+ \rangle + \delta(C^+ C^+)] [\langle C_{-k'\downarrow} C_{k'\uparrow} \rangle + \delta(CC)]$$

$$\delta(CC) = C_{k\uparrow}^+ C_{-k\downarrow}^+ - \langle C_{k\uparrow}^+ C_{-k\downarrow}^+ \rangle$$

הנה  $\delta(CC)$  הוא המודל של pairing בממוצע. המודל הוא מודל של pairing בממוצע. המודל הוא מודל של pairing בממוצע.

$$H = \sum_{k, \sigma} \epsilon_k C_{k\sigma}^+ C_{k\sigma} - \sum_k \Delta_k C_{k\uparrow}^+ C_{-k\downarrow}^+ - \sum_k \Delta_k^* C_{-k\downarrow} C_{k\uparrow} + \sum_k \Delta_k \langle C_{k\uparrow}^+ C_{-k\downarrow}^+ \rangle$$

$$\Delta_k = -\sum_{k'} V_{kk'} \langle C_{-k'\downarrow} C_{k'\uparrow} \rangle$$

(order parameter)  $\Delta$  הוא המודל של pairing בממוצע. המודל הוא מודל של pairing בממוצע. המודל הוא מודל של pairing בממוצע.

Bogoliubov קבעו שהמודל של pairing בממוצע הוא מודל של pairing בממוצע. המודל הוא מודל של pairing בממוצע.

$$C_{k\uparrow} = u_k \gamma_{k0} + v_k \gamma_{k1} \quad \gamma_{k0} = u_k C_{k\uparrow} - v_k C_{-k\downarrow}^+$$

$$C_{-k\downarrow}^+ = -v_k^* \gamma_{k0} + u_k \gamma_{k1} \quad \gamma_{k1} = u_k C_{-k\downarrow} + v_k C_{k\uparrow}^+$$



$$\sin 2\theta + \frac{\Delta}{\xi} \cos(\phi + \alpha - \beta) \cos 2\theta = i \frac{\Delta}{\xi} \sin(\phi + \alpha - \beta)$$

$U_k$  &  $V_k$  הן נורמליות ומה  $\phi \leftarrow \phi + \alpha - \beta = 0$  מכאן זה קורה ולכן  $\beta = \phi \leftarrow \alpha = 0$  זהו הפתרון הנכון

$$\sin^2 2\theta \left[ 1 + \left( \frac{\Delta}{\xi} \right)^2 \right] = \left( \frac{\Delta}{\xi} \right)^2$$

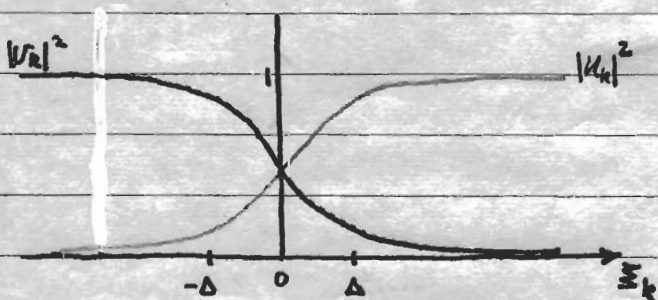
$$\sin 2\theta_k = \frac{|\Delta_k|}{E_k}, \quad \cos 2\theta_k = -\frac{\xi_k}{E_k}$$

$$|U_k|^2 = \frac{1}{2} \left( 1 + \frac{\xi_k}{E_k} \right)$$

$$|V_k|^2 = \frac{1}{2} \left( 1 - \frac{\xi_k}{E_k} \right)$$

$$E_k = \sqrt{\xi_k^2 + |\Delta_k|^2} \quad \text{זו הן Bogoliubov quasiparticle energy's}$$

$E_F$   $\int_N |U_k|^2 \rightarrow 0$  /  $E_F$   $\int_N |V_k|^2 \rightarrow 1$  כלומר פחות ויותר  
 זהו זהו נורמליות  $\sum_k 2\xi_k |U_k|^2 = N$  נורמליות נורמלית זה



$$\langle C_{k\uparrow}^\dagger C_k + C_{k\downarrow}^\dagger C_{k\downarrow} \rangle = 2|V_k|^2$$

↑  
T=0

$$H = \sum_k (\xi_k - E_k + \Delta_k \langle C_{k\uparrow}^\dagger C_{k\downarrow}^\dagger \rangle) + \sum_k E_k (\gamma_{k0}^\dagger \gamma_{k0} + \gamma_{k1}^\dagger \gamma_{k1})$$

זהו  $\sum_{k \neq k_F} \xi_k - |\xi_k| = 2 \sum_{k < k_F} \xi_k$   $\Delta \neq 0$  זהו זהו נורמליות זהו זהו נורמליות  
 'נורמליות' נורמליות זהו  $2 \sum_{k < k_F} \xi_k$  זהו זהו נורמליות זהו זהו נורמליות  
 נורמליות זהו זהו נורמליות זהו זהו נורמליות זהו זהו נורמליות condensation energy  
 $\approx -\frac{1}{2} g_0 \Delta^2$  זהו זהו נורמליות זהו זהו נורמליות זהו זהו נורמליות  
 •  $E_F >$  זהו זהו נורמליות  $T=0$

זהו